

매트릭스法에 의한 船體肋骨環 解析

任 尚 鎭*

Ship Frame Ring Analysis by a Matrix Method

by

S. J. Yim

Abstract

A simple matrix method to analyze the ship's transverse frame ring is proposed. In this approach, the frame ring is treated as a plane frame of uniform slender members. The loadings on the frame consist of buoyancy loads, deck loads and cargo loads. The hatch coamings are considered to deflect under the loads. Because of symmetry, only the half of the frame is analyzed. The method is to obtain the forces and moments on each member. The deformation of the frame can be determined from the nodal displacements.

For a sample calculation, a frame ring of a 10,000 ton class cargo liner is analyzed on the IBM 1130 computer. The numerical results obtained are proved to be reasonable.

1. 緒 論

배의 橫肋骨環은 橫隔壁과 더부리 船體의 橫強度를維持하는 主要한 結合部材이다. 橫肋骨環은 索側肋骨과 甲板보와 肋板이 서로 連結되어 Fig. 1 (a)에 보인 것과 같은 閉四角形의 모양으로構成되는 것이 보통이지만, 艙口의 位置에서는 甲板보가 切斷되고 그自由端이 艙口緣材에 依해 支持되어 Fig. 1 (b)에 보인 것과 같은 開四角形의 모양을 이루게 된다.

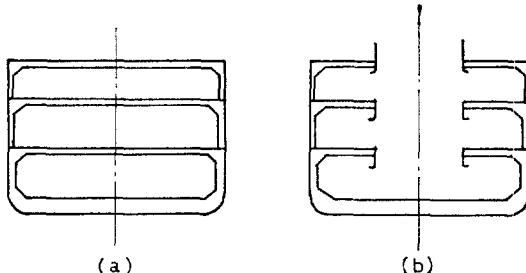


Fig. 1. Typical Frame Ring

橫肋骨環의 強度解析은 大概 艙口에 位置한 肋骨環을 對象으로 하여 實施된다. 解析方法으로서는 最少일의 原理, 基울기—처짐 法, 또는 모우먼트 配分法 等이 使用되어 왔다[1]. 이 때 肋骨環의 部材들은 서로 剛結되어 있고 그 結合點들은 甲板, 內底板, 船底板 및 索側外板의 剛性 때문에 그들 板의 平面內에서는 變位하지 않고 回轉만 한다고 假定하는 것이 普通이다. 또한 甲板보의 自由端이 艙口緣材와 더부리 치지는 效果와 二重底構造의 拘束效果도 아울러 考慮하는 것이 보통이다[2].

本研究에서는 上記 解析에 매트릭스法을 導入하여 電子計算機에 依해 處理하는 한 方法을 考察하였으며 그 것을 實船에 適用하여 그 妥當性을 確認하였다.

2. 解析方法

橫肋骨環은 左右對稱이므로 그 半쪽만을 생각하기로 하고, 그것을 Fig. 2에 보인 것과 같은 平面뼈대로 理想化하여 取扱한다. 여기에는 다음과 같은 假定들이 包含된다.

i) 各部材는 均一斷面의 細長部材이며 그 部材에 붙어 있는 甲板이나 外板의 有効幅部分을 그 部材의 플랜지로 看做한다.

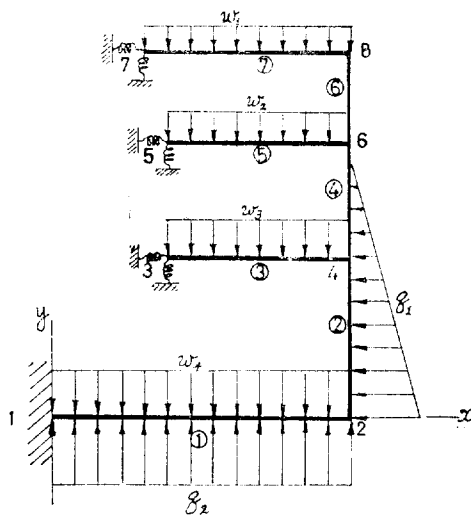


Fig. 2. Idealized Frame Ring

ii) 船底肋板의 中央點은 對稱條件에 따라 固定된 것으로 보고, 甲板보의 內側端들은 船口緣材와 더부리 弹性的으로 치자는 것으로 본다. 그밖의 節點들에서는 部材들이 서로 剛結되어 있어서 모우먼트를 傳達할 수 있으나 그들 節點의 變位는 拘束되어 있지 않는 것으로 본다.

iii) 이 뼈대에 걸리는 荷重은 船殼의 한 肋骨間隔 사이에 걸리는 橫荷重들로서, Fig. 2에 보인 것과 같은 浮力荷重, 甲板荷重 및 艙內貨物荷重 等을 考慮한다.

이와 같이 橫肋骨環을 理想化하여 얻은 平面뼈대에 매트릭스解法을 適用하여 다음과 같이 處理한다 (Fig. 2 參照).

i) 座標軸을 適切히 擇하고, 각 節點과 部材에 番號를 붙인다.

ii) 各 部材의 길이, 斷面積 및 二次モーメント를 計算해 둔다.

iii) 節點 및 部材의 拘束條件 및 變形條件를 確定한다.

iv) 各 部材에 걸리는 荷重을 決定한다. 이 때 浮力荷重은 吃水로부터 計算되고, 甲板 및 艙內貨物荷重은 適切한 水頭를 假定하여 推定된다 [3].

v) 各 部材에 걸리는 荷重들을 그와 同等한 兩端節點荷重으로 代替한다 [4][5].

vi) 이 뼈대에 對한 剛性方程式을 세운다. 즉, 이 뼈대에서의 水平部材의 剛性매트릭스는

$$\begin{array}{cccc} \frac{EA}{l} & & & \\ 0 & \frac{12EI_z}{l^3} & & \\ 0 & \frac{6EI_z}{l^2} & \frac{4EI_z}{l} & \\ -\frac{EA}{l} & 0 & 0 & \frac{EA}{l} \\ 0 & -\frac{12EI_z}{l^3} & -\frac{6EI_z}{l^2} & 0 & \frac{12EI_z}{l^3} \\ 0 & \frac{6EI_z}{l^2} & \frac{2EI_z}{l} & 0 & -\frac{6EI_z}{l^2} & \frac{4EI_z}{l} \end{array} \quad \text{SYM.}$$

의 形式이고, 鉛直部材의 剛性매트릭스는

$$\begin{array}{ccccc} \frac{12EI_z}{l^3} & & & & \\ 0 & \frac{EA}{l} & & & \\ -\frac{6EI_z}{l^2} & 0 & \frac{4EI_z}{l} & & \\ -\frac{12EI_z}{l^3} & 0 & \frac{6EI_z}{l^2} & \frac{12EI_z}{l^3} & \\ 0 & -\frac{EA}{l} & 0 & 0 & \frac{EA}{l} \\ -\frac{6EI_z}{l^2} & 0 & \frac{2EI_z}{l} & \frac{6EI_z}{l^2} & 0 & \frac{4EI_z}{l} \end{array} \quad \text{SYM.}$$

의 形式이다. 뼈대의 모든 部材에 對하여 위의 形式에 따라 각各 剛性매트릭스를 作成하여 重疊하면 뼈대 全體에 對한 剛性매트릭스가 얻어지고, 다음과 같은 剛性方程式을 쓸 수 있게 된다.

$$\begin{array}{c} X_1 \\ Y_1 \\ M_1 \\ X_2 \\ Y_2 \\ M_2 \\ \vdots \\ \dot{X}_n \\ \dot{Y}_n \\ M_n \end{array} = \begin{array}{c} K_{11} K_{12} K_{13} \dots K_{13n} \\ K_{21} K_{22} K_{23} \dots K_{23n} \\ K_{31} K_{32} K_{33} \dots K_{33n} \\ \vdots \\ \vdots \\ K_{3n-1} K_{3n-2} K_{3n-3} \dots K_{3n-3n} \end{array} \begin{array}{c} u_1 \\ v_1 \\ \theta_1 \\ u_2 \\ v_2 \\ \theta_2 \\ \vdots \\ u_n \\ v_n \\ \theta_n \end{array} + \begin{array}{c} X_1^0 \\ Y_1^0 \\ M_1^0 \\ X_2^0 \\ Y_2^0 \\ M_2^0 \\ \vdots \\ \dot{X}_n^0 \\ \dot{Y}_n^0 \\ M_n^0 \end{array} \end{array}$$

또는

$$\begin{array}{c} [X] = [K] \{u\} + \{X^0\} \\ (3n \times 1) (3n \times 3n) (3n \times 1) (3n \times 1) \end{array}$$

vii) 매트릭스 $[X]$ 를 零으로 놓고 매트릭스 $\{X^0\}$ 에 v)項에서 얻은 節點力들을 넣고 매트릭스 $\{u\}$ 에 節點拘束條件들을 代入한 뒤에 上記 式을 풀어 節點變位들을 求한다.

viii) 前項에서 얻은 值들을 上式에 代入하여 매트릭스 $[X]$ 를 求하면 모든 節點力이 決定되고 이들이 알려지면 各部材에 걸리는 힘과 모우먼트는 쉽게 求해진다.

3. 計 算 例

供試船은 商工部 標準型船 MCI-C₁₃-70 對美定期貨物
船이며 [6], 그 主要要目은 아래와 같다.

G/T 10,000 ton

D/W 12,800 ton

LBP	150.000 m
B(mld)	22.600
D(mld)	12.800
DLWL	9.120
Speed	max. 21.5 kts.

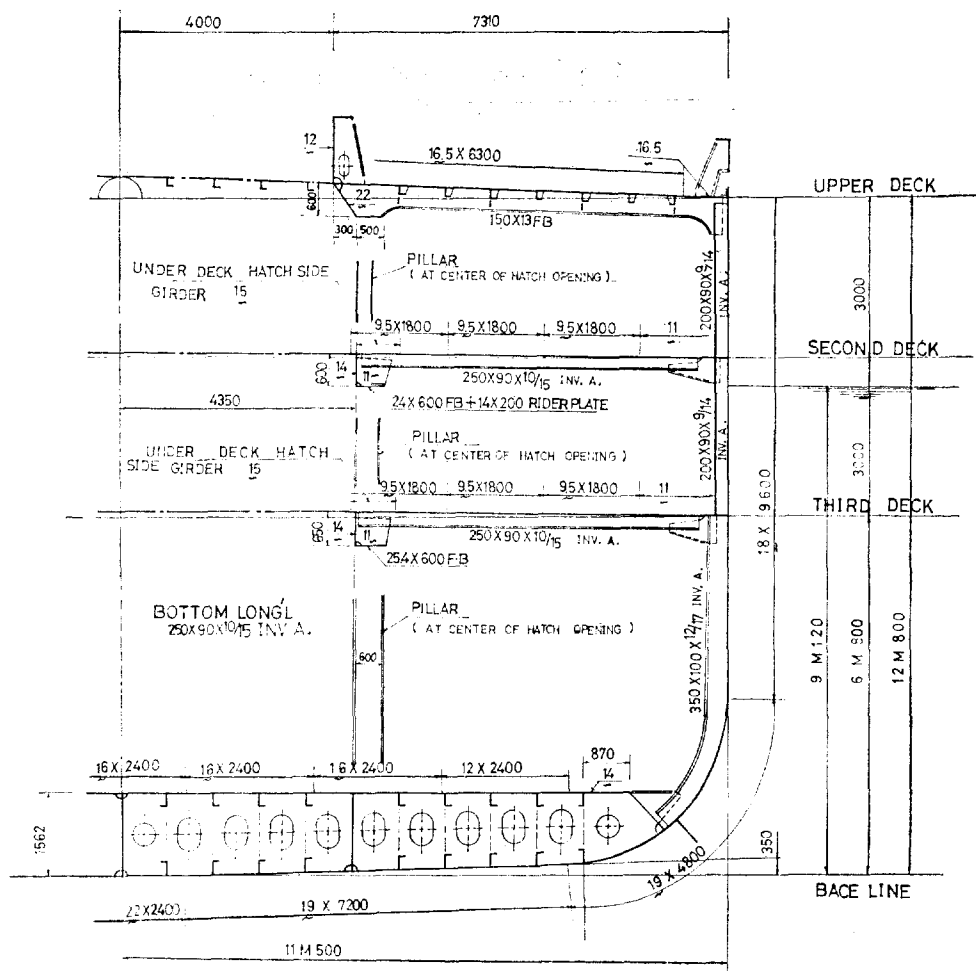


Fig. 3. Midship Section

Fig. 3은 이 배의 中央斷面圖이다. 이 배는 全通三層甲板船이며 上甲板과 船底部는 縱助骨式이고 舷側은 橫肋骨式構造로 되어 있다.

여기서는 船體中央에 가까운 FR 98을 擇하여 解析하였다. 이 近處에서의 橫肋骨間隔은 舷側에서는 800 mm이고 上甲板과 船底部에서는 3,200 mm이다. FR 98은 第四番艤口의 四等分點에 놓여 있으며, 艤口緣材의 中央點은 支柱에 依해 받쳐져 있다. 이 貨物艤의 兩端

을 이루는 水密隔壁 사이의 間隔은 20,800 mm이고, 艤口의 길이는 12,800 mm이다.

이 計算에서는 FR 98의 助骨環을 Fig. 2에 보인 것과 같은 뼈대로 理想化한 뒤에 IBM 1130 STRESS[7]를 使用함으로써 前節의 v)~viii)項의 計算을 自動的으로 進行할 수 있었다. 이 뼈대에 對한 數值資料들은 Table 1과 같다.

Table 1 (a). 節點의 位置

節點	X 座標*	Y 座標*	拘束條件
1	0	0	固定
2	1,125	0	自由
3	435	590	彈性支持
4	1,125	590	自由
5	435	890	彈性支持
6	1,125	890	自由
7	400	1,190	彈性支持
8	1,125	1,190	自由

* 이 뼈대의 윤곽은 各部材의 中立軸과 一致한다고 본다.

Table 1 (b). 部材의 크기

部材	兩端點	길이 (cm)	斷面積 (cm ²)	有効剪斷面積 (cm ²)	二 모우먼트 (cm ⁴)	次* (cm ⁴)	最 小斷面係數 (cm ³)
①	1,2	1,125	338	110	1,707,000	19,850	
②	2,4	590	189	42	30,100	1,110	
③	3,4	690	96	25	9,880	563	
④	4,6	300	128	18	6,880	440	
⑤	5,6	690	96	25	9,880	563	
⑥	6,8	300	128	18	6,800	440	
⑦	7,8	725	252	66	55,100	1,840	

* 各部材에 붙어 있는 板의 有效部分을 包含시켰다.

Table 1 (c). 荷重의 種類 및 세기

部材	荷重의 種類	荷重의 分布 및 세기	備考
①	船底浮力荷重	全長에 걸친 均一分布 264 kg/cm	水頭 825 cm 肋骨間隔 320 cm
②	船艙貨物荷重	全長에 걸친 均一分布 -104 kg/cm	水頭 325 cm 肋骨間隔 320 cm
③	舷側浮力荷重	全長에 걸친 直線分布 節點 2에서 66 kg/cm, 節點 4에서 18.8 kg/cm	水頭 825~235 cm 肋骨間隔 80 cm
④	第三甲板貨物荷重	全長에 걸친 均一分布 -16 kg/cm	水頭 200 cm 肋骨間隔 80 cm
⑤	舷側浮力荷重	節點 4로부터 235 cm에 걸친 直線分布 節點 4에서 18.8 kg/cm, 235 cm인 點에서 0 kg/cm	水頭 235~0 cm 肋骨間隔 80 cm
⑥	第二甲板貨物荷重	全長에 걸친 均一分布 -16 kg/cm	水頭 200 cm 肋骨間隔 80 cm
⑦	上甲板貨物荷重	全長에 걸친 均一分布 -48 kg/cm	水頭 150 cm 肋骨間隔 320 cm

實際의 計算은 다음과 같이 세段階로 나누어 實施하였다.

i) 節點 3, 5, 및 7을 單純支點으로 보고 프로그램 STRESS를 使用하여 그들 支點의 水平 및 垂直反力

Table 2.

支點	水平反力(kg)	垂直反力(kg)
3	13,685	3,146
5	-7,493	3,484
7	9,345	14,967

들을 求하였다. 그 結果는 Table 2와 같다.

ii) 上記 反力과 艉口덮개荷重下에서의 艉口緣材들의 치짐을 計算하였다. 그 緣材들은 Fig. 4에 보인 것과 같은 支持와 荷重을 받고 있으며, 그들에 對한 數值資料 및 그들로부터 計算된 치짐은 Table 3과 같다.

iii) 그 뼈대에 첫段階에서와 같은 荷重을 作用시킨 뒤에 節點 3, 5, 및 7에 둘째段階에서 求한 것과 같은 變位를 주었을 때 各部材에 걸리는 힘과 모우먼트를 計算하고, 아울러 各節點의 變位를 求하였다. 이 計算에도 STRESS를 利用하였고, 그 結果는 Fig. 5와 같다.

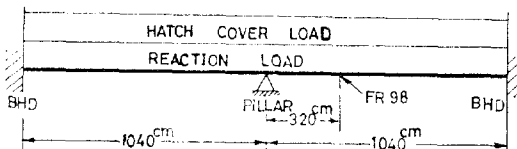
Table 3 (a). 艉口緣材의 垂直 치짐

	斷面積 (cm ²)	有効剪斷面積 (cm ²)	二次モウメント (cm ⁴)	艉口덮개荷重* (kg/cm)	反力荷重 (kg/cm)	FR98位置에서 의 치짐 (cm)
上甲板	427	270	1,777,000	60	46.8	-0.1175
第二甲板	319	84	201,000	87	46.1	-0.9147
第三甲板	306	91	232,000	87	39.3	-0.7637

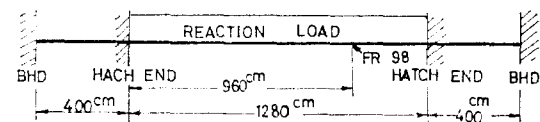
* 艉口덮개荷重은 該當 甲板荷重과 같다고 본다.

Table 3 (b). 艙口緣材의 수평 차짐

	斷面積 (cm ²)	有効剪斷面積 (cm ²)	二次モーメント (cm ⁴)	反力荷重 (kg/cm)	FR 98 位置에서의 차짐 (cm)
上甲板	562	328	299,000	29.2	-0.0128
第二甲板	336	252	186,000	-93.7	0.0660
第三甲板	323	232	176,000	171.0	-0.1274



(a) Vertical Loading



(b) Horizontal Loading

Hatch Cover Load = Water Head × Hatch Breadth/2

Reaction Load = Reaction Force/Frame Space

Fig. 4. Loadings on Hatch Coamings

MEMBER FORCES				
MEMBER	JOINT	AXIAL FORCE	SHEAR FORCE	MOMENT
1	1	12190.019	-144409.281	-61111200.10
	2	-12190.019	-323290.762	-39192.01
2	2	39580.475	-12138.425	99216.87
	3	-39580.475	-12877.474	1488025.50
3	3	12281.324	3125.733	0.12
	4	-12281.324	7814.267	-1452064.30
4	4	27678.148	596.256	144018.45
	5	-27678.148	-2805.237	508314.31
5	5	-6751.194	3802.477	0.00
	6	6751.194	7737.524	-1530091.90
6	6	19938.722	9356.447	1028577.12
	7	-19938.722	-9356.447	1841356.75
7	7	9356.443	14860.201	0.46
	8	-9356.443	19939.804	-1841357.00
APPLIED JOINT LOADS: FREE JOINTS				
JOINT	FORCE X	FORCE Y	MOMENT Z	
1	8.406	+2.897	24.87	
	0.011	0.346	-0.37	
2	-2.012	0.897	0.00	
	0.003	1.082	-0.25	
REACTIONS+APPLIED LOADS SUPPORT JOINTS				
JOINT	FORCE X	FORCE Y	MOMENT Z	
1	12190.019+144409.281	-61111200.10		
3	12281.324	3125.733	0.12	
	-6751.194	3802.477	0.00	
7	9356.443	14860.201	0.46	
FREE JOINT DISPLACEMENTS				
JOINT	X-DISPLACEMENT	Y-DISPLACEMENT	ROTATION	
2	-0.0192	4.8696	0.0042	
	-0.1895	4.8167	-0.0007	
4	0.0891	4.7858	0.0017	
	-0.0218	4.7636	0.0163	
SUPPORT JOINT DISPLACEMENTS				
JOINT	X-DISPLACEMENT	Y-DISPLACEMENT	ROTATION	
1	0.0000	0.0000	0.0000	
3	-0.1273	-0.1174	0.0284	
	0.0285	-0.0167	0.0000	
7	-0.0127	-0.1636	0.0000	

Fig. 5 (a). Output Data

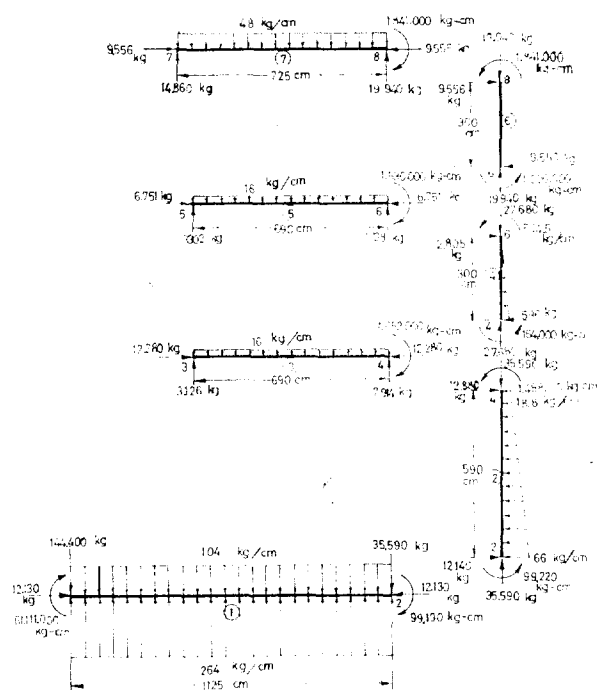


Fig. 5 (b). Forces and Moments on Each Member

4. 結論 및 考察

以上을 綜合하면 提案된 方法은 比較的 簡便하면서도 合理의 结果를 주고 있다는 것을 알 수 있다. 그러나 實際의 肋骨環 構造를 그런 方法으로 다룰 수 있을 만큼 理想化하는 過程 속에는 若干의 問題가 남아 있고, 그들은 最終結果에相當한 影響을 끼칠 수 있다. 그러므로 이 方法으로부터 얻어지는 數值結果들은 絶對의 뜻을 갖는 것은 아니지만, 初期設計나 類似船 들 사이에서의 比較基準으로서는 充分한 價値를 갖는다고 생각할 수 있다.

後記

本研究는 72年度 文教部 學術研究 助成費의 도움으로 이루어졌고, 數值計算에는 서울大學 工科大學 電子計算所의 IBM 1130 이 사용되었다. 이 일을 도와주신 여러분들에게 깊이 感謝하는 바이다.

參 考 文 獻

- [1] D. F. MacNaught, "Strength of Ships," P.N.A., SNAME, 1967
- [2] H. A. Schade, "Design Curves for Cross-Stiffened Plating under Uniform Bending Load," Trans. SNAME, 1941
- [3] S.R. Heller, Jr. and N. H. Jasper, "On the Structural Design of Planing Craft," Trans. RINA, 1960
- [4] O. C. Zienkiewicz and Y. K. Cheung, "The Finite Element Method in Structural and Continuum Mechanics," McGraw-Hill Book Co., 1970
- [5] 三木本茂夫, 吉村信敏, "有限要素法による構造解析プログラム," コンピューターによる構造工学講座 I-1-B, 日本構造協会, 培風館, 1971
- [6] 商工部 標準型船 MCI-C₁₃-70, GT 10,000噸級 対美定期貨物船 設計圖面, 大韓造船學會, 1970
- [7] IBM Application Program, "Structural Engineering System Solver (STRESS) for the IBM 1130 (1130-EC-03X) Version 2, User's Manual," 1968